



超細纖維膜應用及發展

報告人：彭兆群

紡織產業綜合研究所

中華民國109年12月03日



- 一. 製造超細纖維膜的製程
- 二. 超細纖維膜的特性
- 三. 超細纖維膜的應用

超細纖維膜的應用及性能

紡織產業綜合研究所
Taiwan Textile Research Institute



應用

過濾 -

空氣

液體

生物製藥

醫療 -

傷口護理

組織工程

性能

高表面積

微小孔隙

高孔隙率

高吸附性



- 奈米 : 10^{-9} m , 微米 : 10^{-6} m (micron or μm)
- 公尺 : 1/ 10, 000,000 from equator to north pole
- Nanomaterial : at least 1 dimension of a material ≤ 100 nm according to US NSF
- Microfiber : fiber size \geq near 1 micron
- Submicron fiber : fiber size $< 1\mu\text{m}$, $\geq 500\text{nm}$



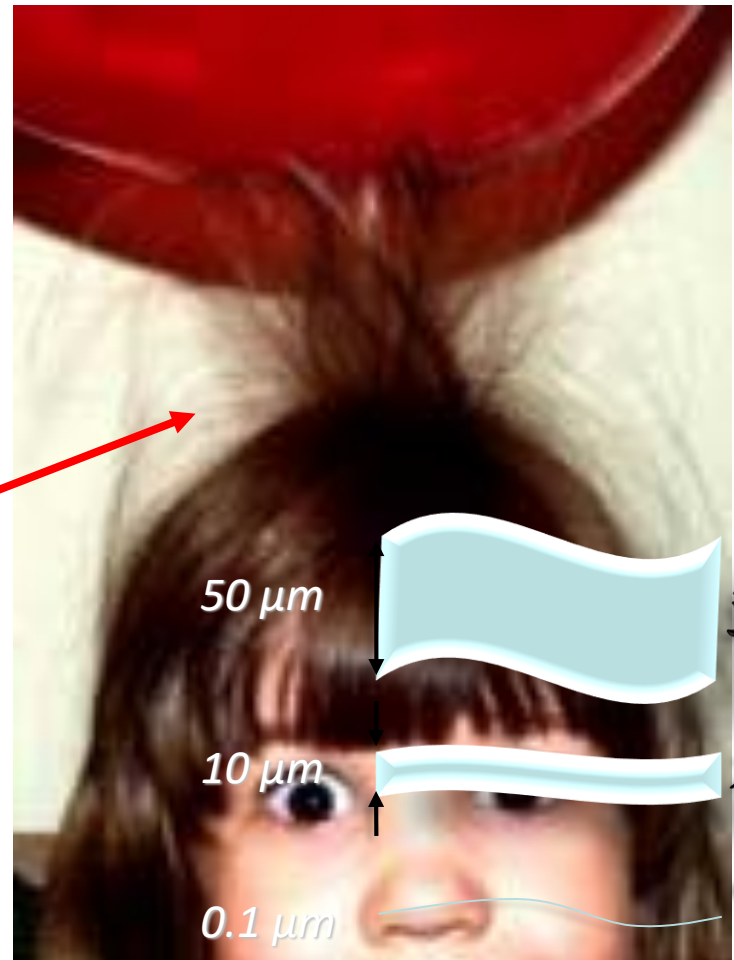
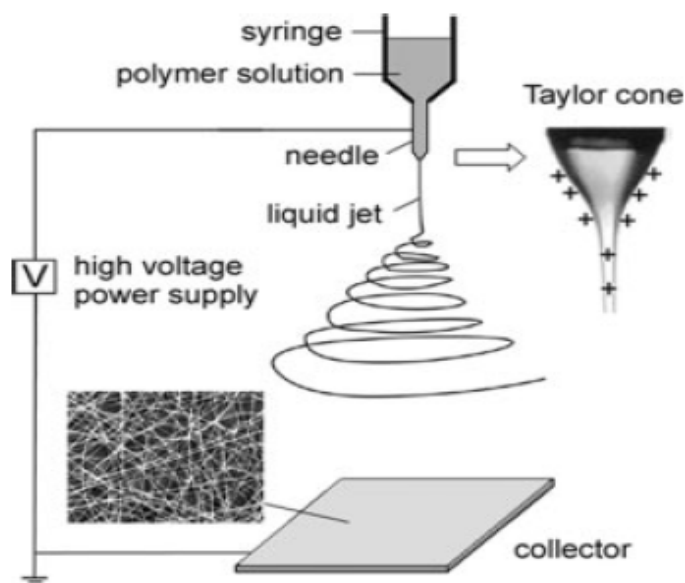
- 電紡，**Electrospinning (ES)**
- 離心紗，**Force spinning (FS)**
- 溶噴紗，**Solution blow spinning (SBS)**
- 電噴紗，**Electroblowing (EB)**
- 複合紗，**Islands in the sea, Segmented Pie, and side by side including SB and MB**
- 紡黏不織布，**Spunbonding (SB)**
- 熔噴不織布，**Meltblowing (MB)**

Electrospinning



• 一般而言，主要包含三個基本組成：

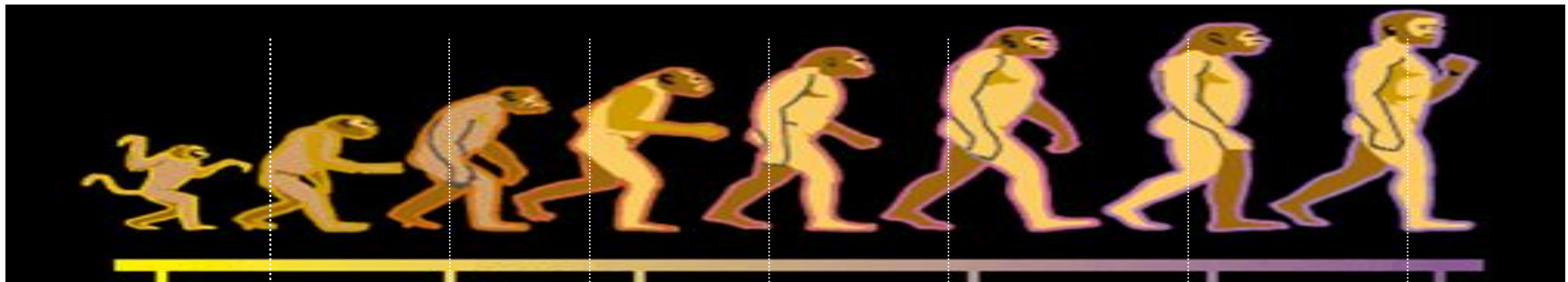
- 高壓電源
- 金屬噴嘴
- 收集器（接地導體）



頭髮
衣服
電紡

http://upload.wikimedia.org/wikipedia/commons/c/ca/Electrospinning_Diagram.jpg

Electrospinning



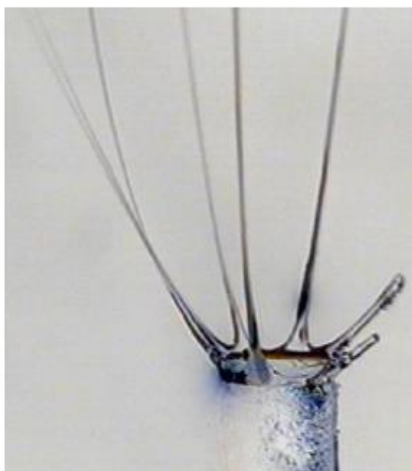
- 1902 J.F Cooley (U.S. Patent 692,631) and W.J. Morton (U.S. Patent 705,691).
- 1914 J. Zeleny, published work on the behavior of fluid droplets at the end of metal capillaries.
- 1934 to 1944 A. Formhals (U.S. Patent 1,975,504) to 1944 (U.S. Patent 2,349,950) for the fabrication of textile yarns.
- 1936 C.L. Norton (U.S. Patent 2,048,651) **Melt Electrospinning**.
- 1938 N.D. Rozenblum and I.V. Petryanov-Sokolov at the Karpov Institute in the USSR prepared filter materials from **electrospun fibers** known as "Petryanov filters". Work not well known in the West.
- 1939-1960's Petryanov filters were produced at Tver' for the manufacture of electrospun smoke filter elements for gas masks.
- 1964 to 1969 G. I. Taylor published a theoretical model describing the first stages of electrospinning.
- 1970's Some activities with commercial intent from a few companies as from patent activity, namely **Bayer and Dupont**.
- 1990's D. Reneker and others reinvigorated the research interest in electrospinning. Today hundreds of groups around the globe work on electrospinning.
- 2000's Several research groups published **theoretical models** for electrospinning (details ahead). A few companies set out to commercialize electrospun materials.
- 2005 **Elmarco** commercializes the first Electrospinning equipment

資料來源：NCRC

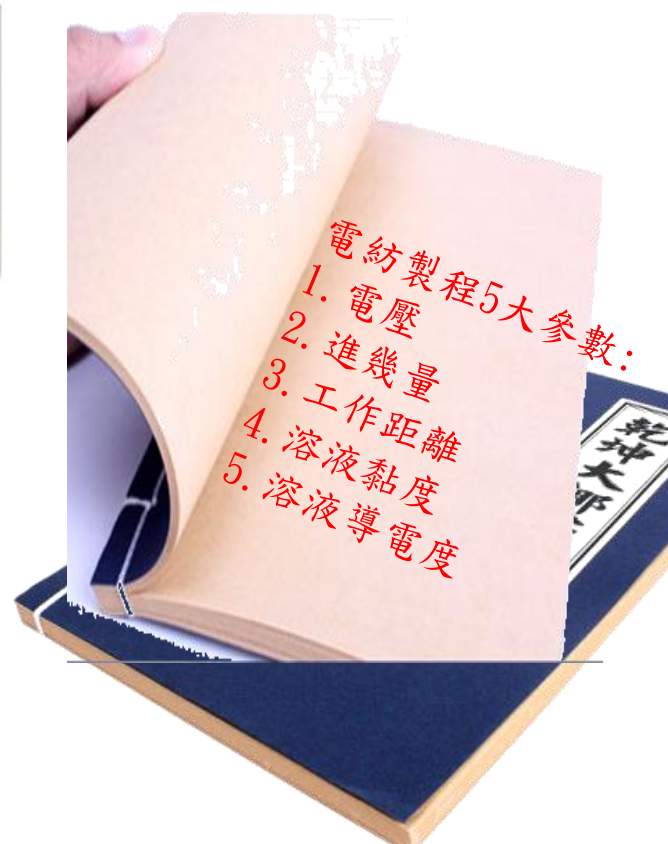
Electrospinning



- 高分子溶液表面隨電場提高之變化



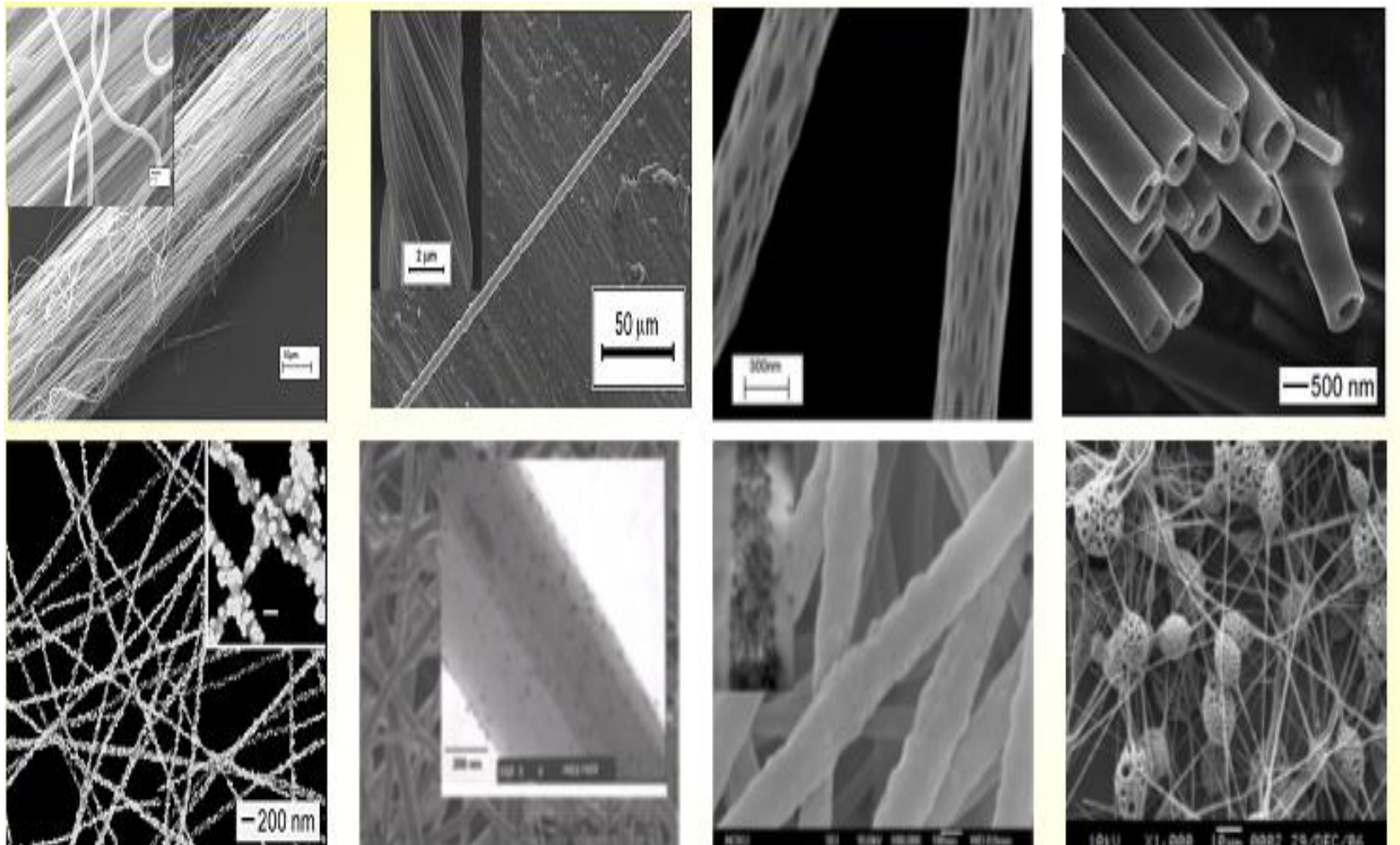
(Courtesy of O. Jirsak et.al., TU Liberec)



Electrospinning



- 靜電紡絲纖維型態



資料來源：MECC

Electrospinning



- 材料多樣性

Organic

PA6
PA6/12
PAI (Polyamidimide)
PUR (Polyurethane)
PES (Polyethersulfone)
PVA (Polyvinylalcohol)
PAN (Polyacrylonitrile)
PEO (Polyethyleneoxide)
PS (Polystyrene)
PVDF (Polyvinylidenfluoride)
PVP (Polyvinylpyrrolidone)
PVP – I (Povidone-iodine)

Inorganic

TiO₂
SiO₂
SnO₂
WO₃
Al₂O₃
Li₄Ti₅O₁₂

Metallic

Pt
Cu
Mn

Biopolymers

Gelatine
Chitosan
Collagen
PAA (Polyaramide)
PVA (Polyvinylalcohol)
PLA (Polylactic acid)
PCL (Polycaprolactam)



資料來源：Elmarco

- ◎ 如何解決量化問題？
- ◎ 如何解決溶劑問題？
- ◎ 什麼應用非電紡奈米纖維不可？

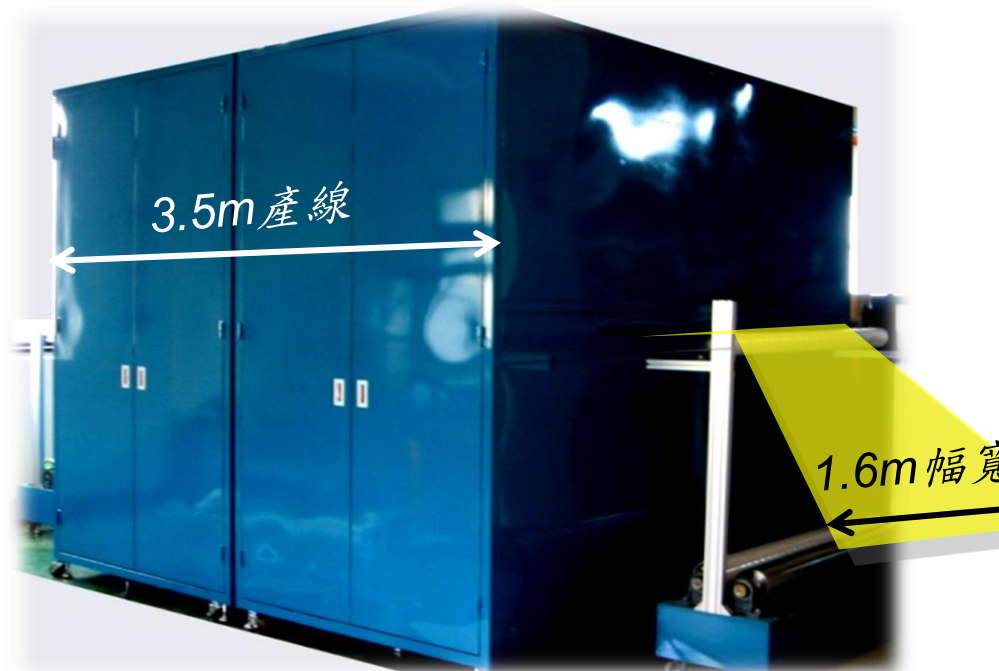


◎電紡不織布（奈米纖維量產設備）

- 多針式（往覆移動）
- 無針式
- 羅拉式（螺旋式、狼牙棒、線式、印表機式）
- 離心式
- 泡泡電紺
- 溶噴電紺

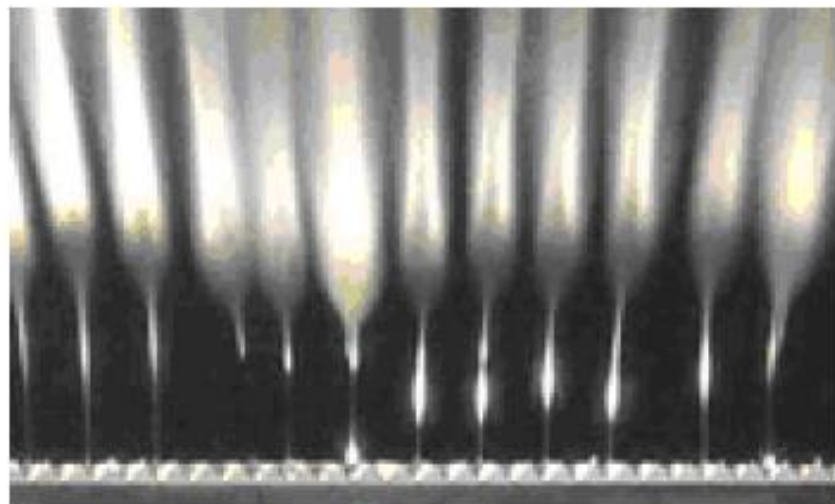


如何解決量化問題





Nozzle based



Free liquid surface electrospinning of Polyvinylalcohol

(Courtesy of David Lukas, Technical University of Liberec)

Nozzle-less



Rotating drum is dipped into a bath of liquid polymer. Thin layer of polymer is carried on the drum surface and exposed to a high voltage electric field.

When the voltage exceeds the critical value E_c , a number of electrospinning jets are generated.

如何解決溶劑問題？

◎熔融電紡技術

優勢

- 無溶劑使用
- 可處理難溶之高分子
 - PP、PE、PET…
- 可提高生產量

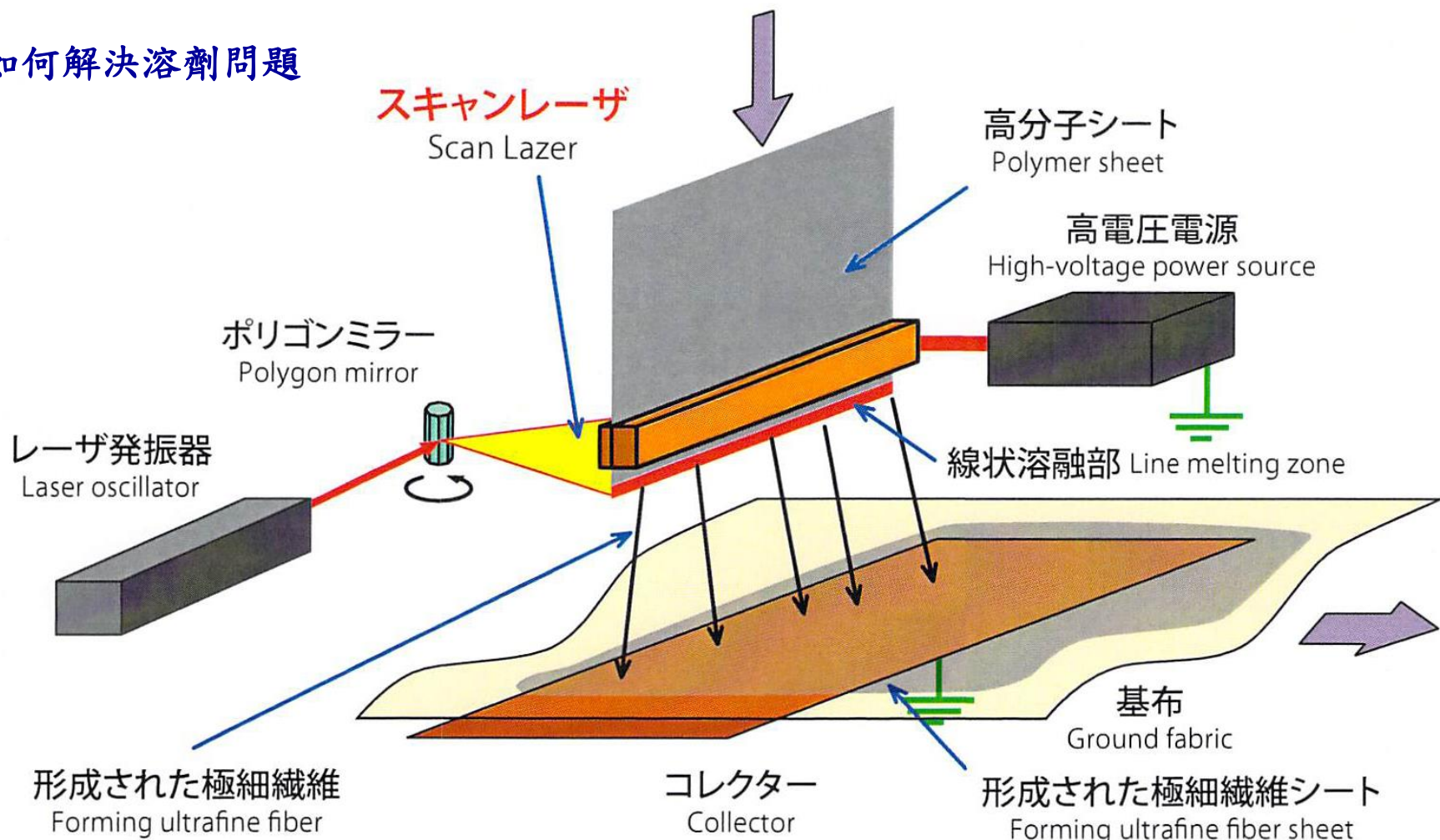
挑戰

- 對高分子原料的要求較高
 - 最適的熔融黏度
 - 最適的熔融導性或極性
- 絝緣及加熱

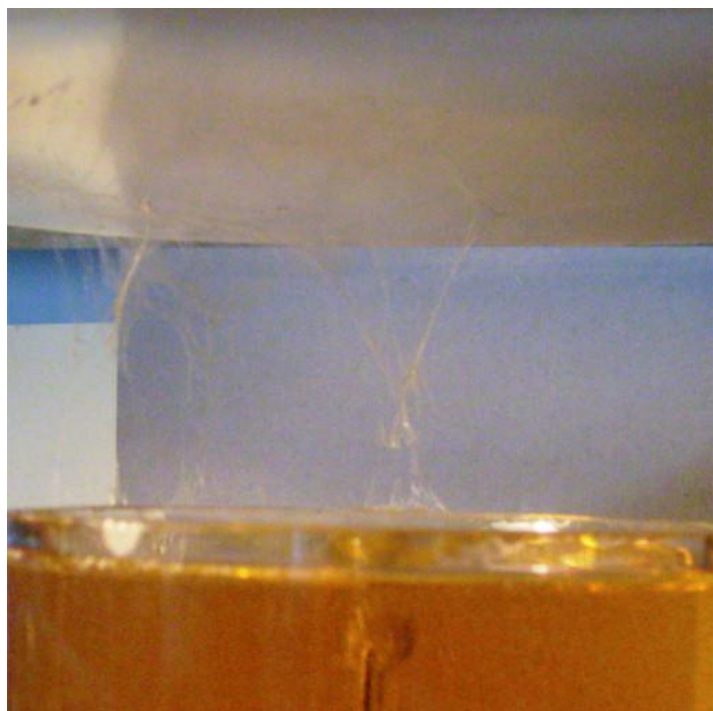
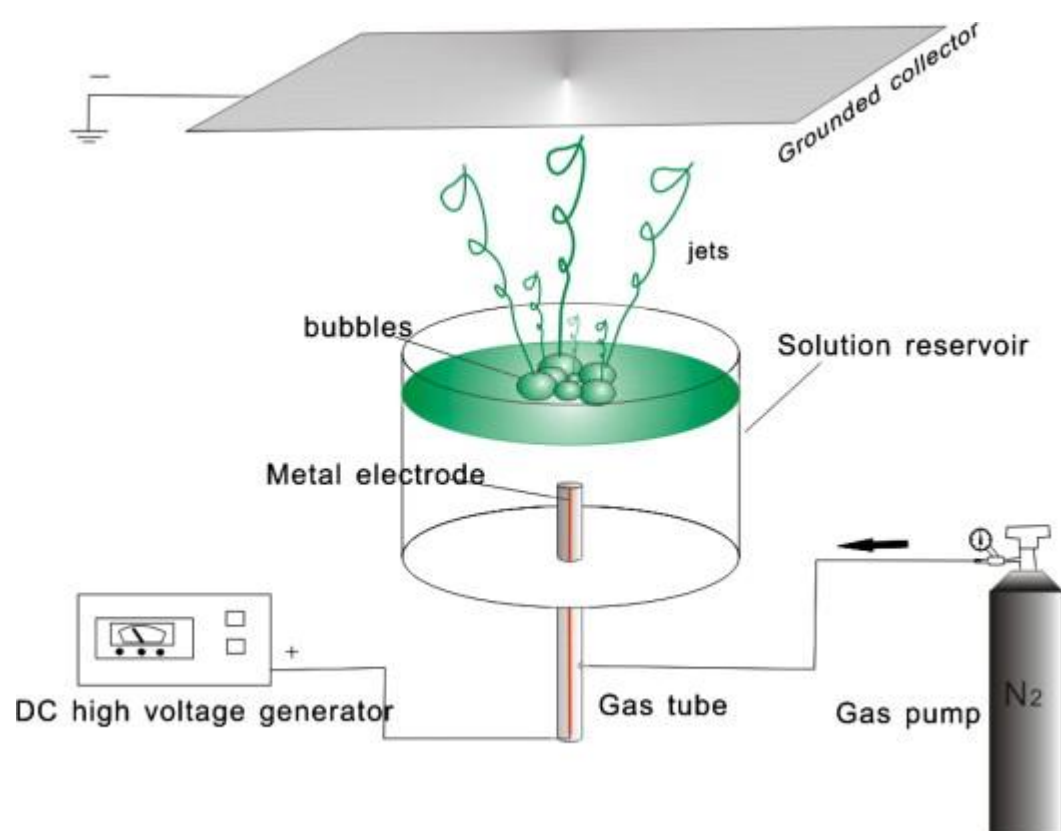
Electrospinning



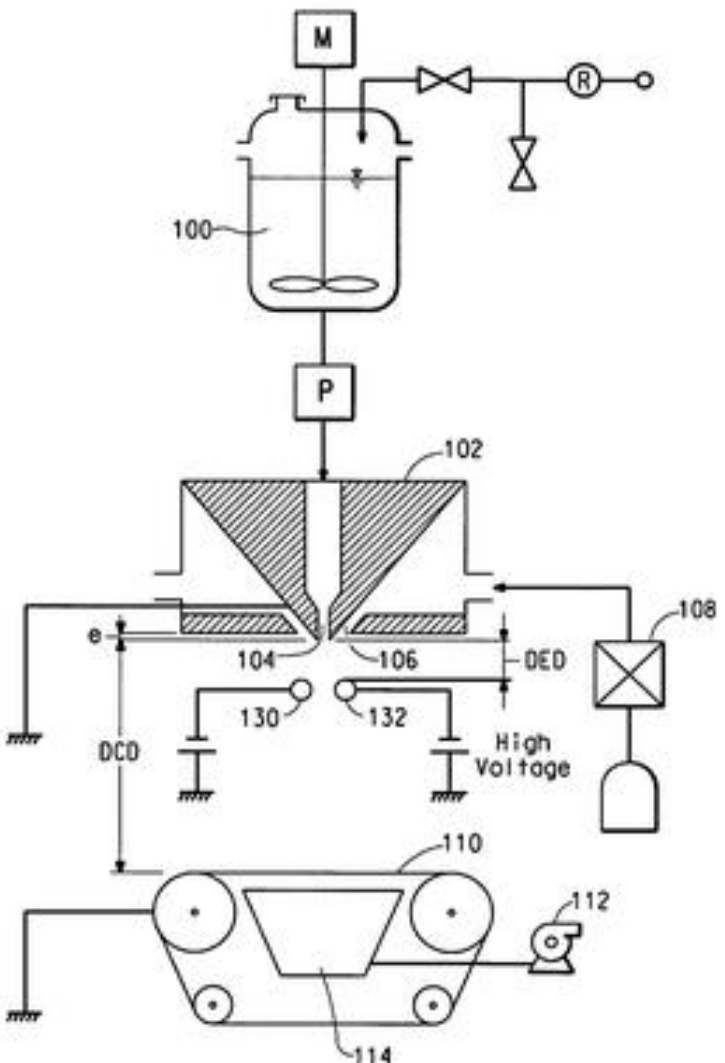
如何解決溶劑問題



Electrospinning



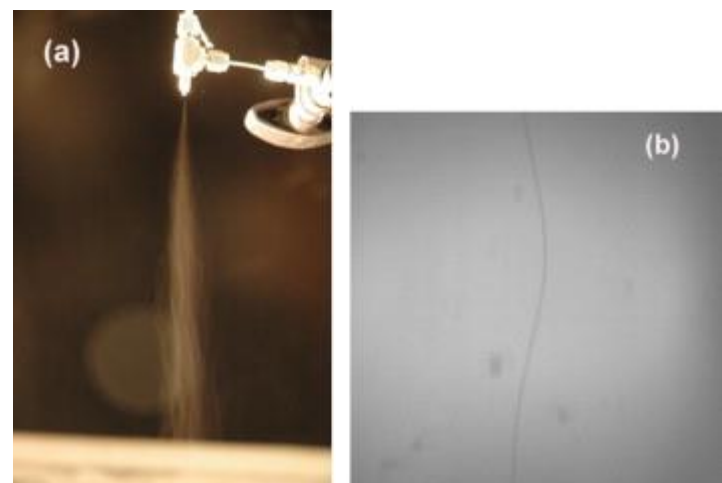
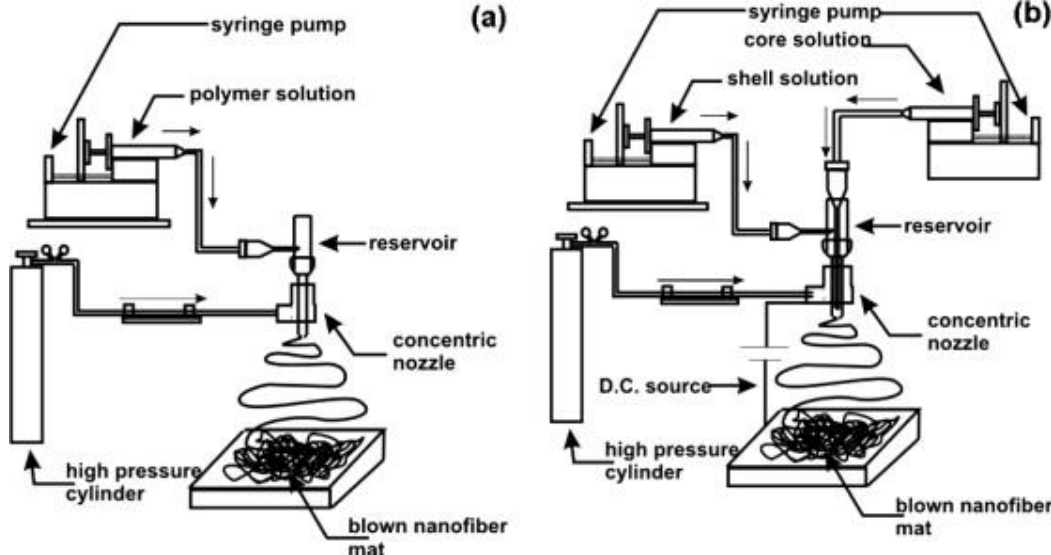
Electroblowing (EB)



US 7,931,456 B2

Electroblowing web formation

Solution blowing

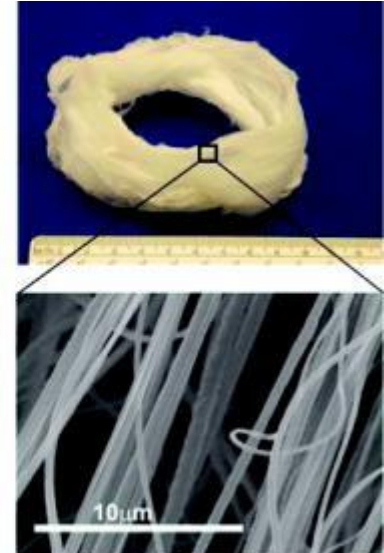
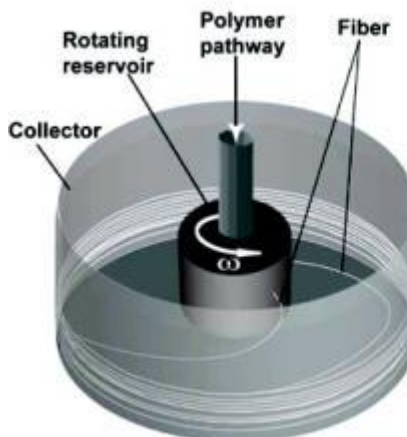


Source: Journal of Applied Polymer Science DOI 10.1002/app

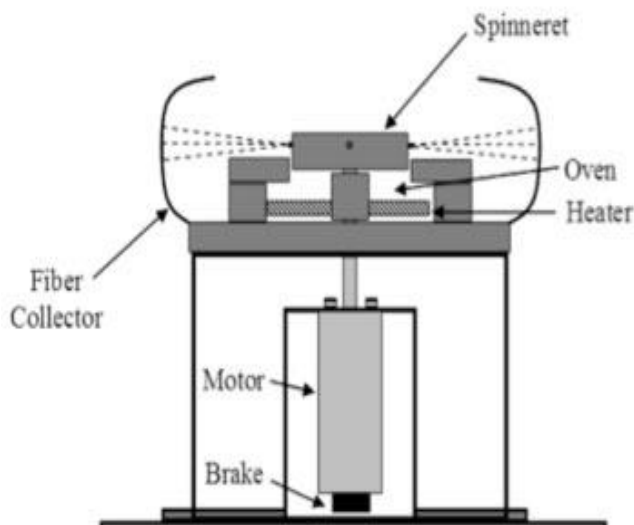
Force Spinning



- By using Centrifugal Force
- Both solutions and Melts
- No high voltage, no hot air
- New Process – many unknowns

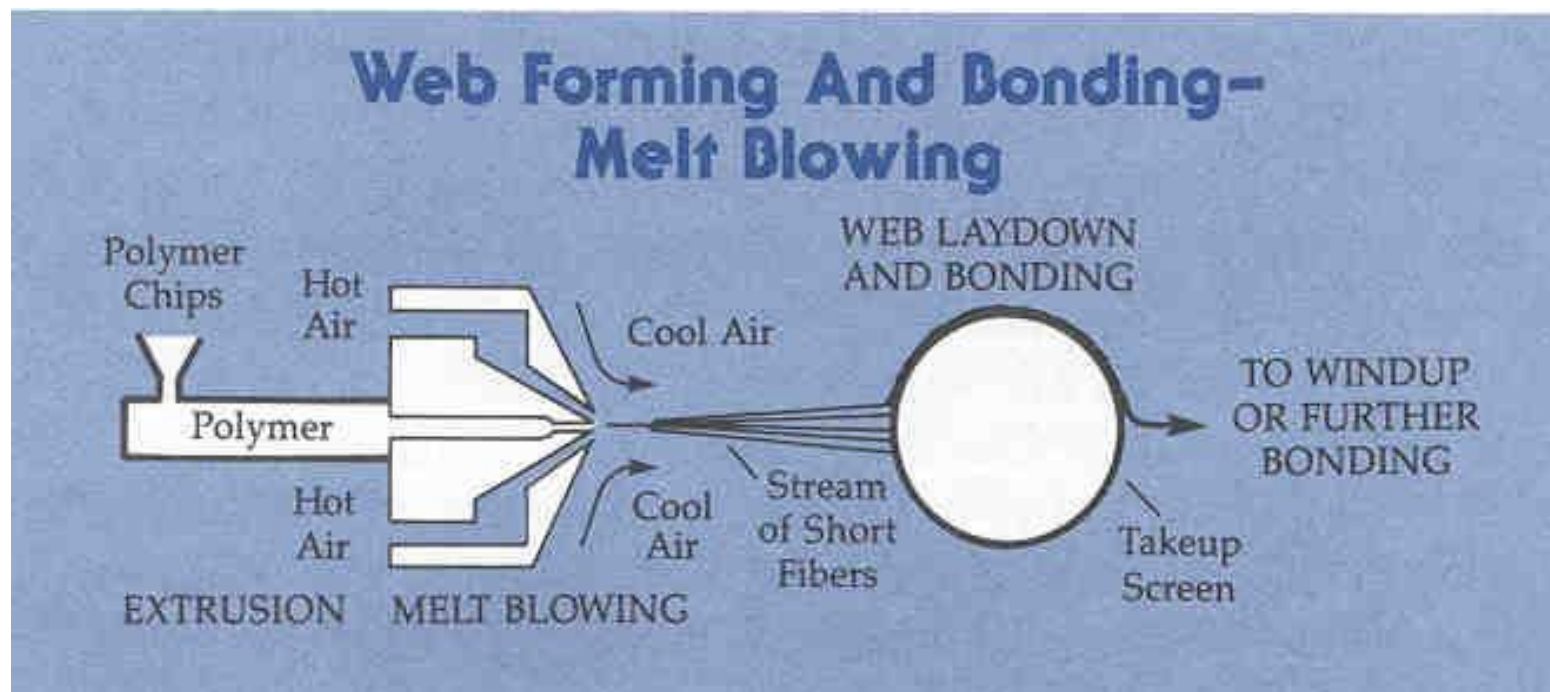


Rotary jet-spinning (RJS) process

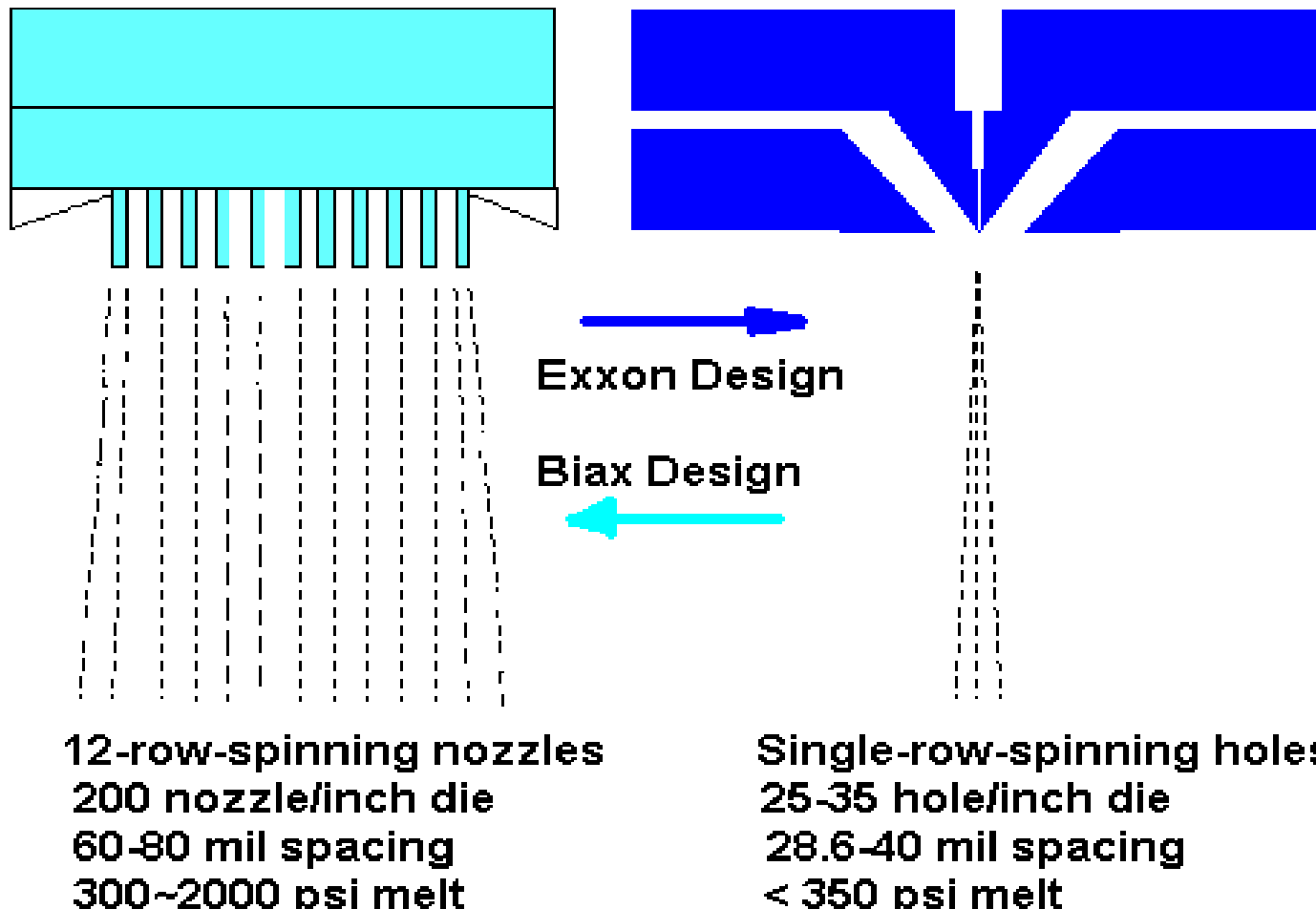




Meltblowing

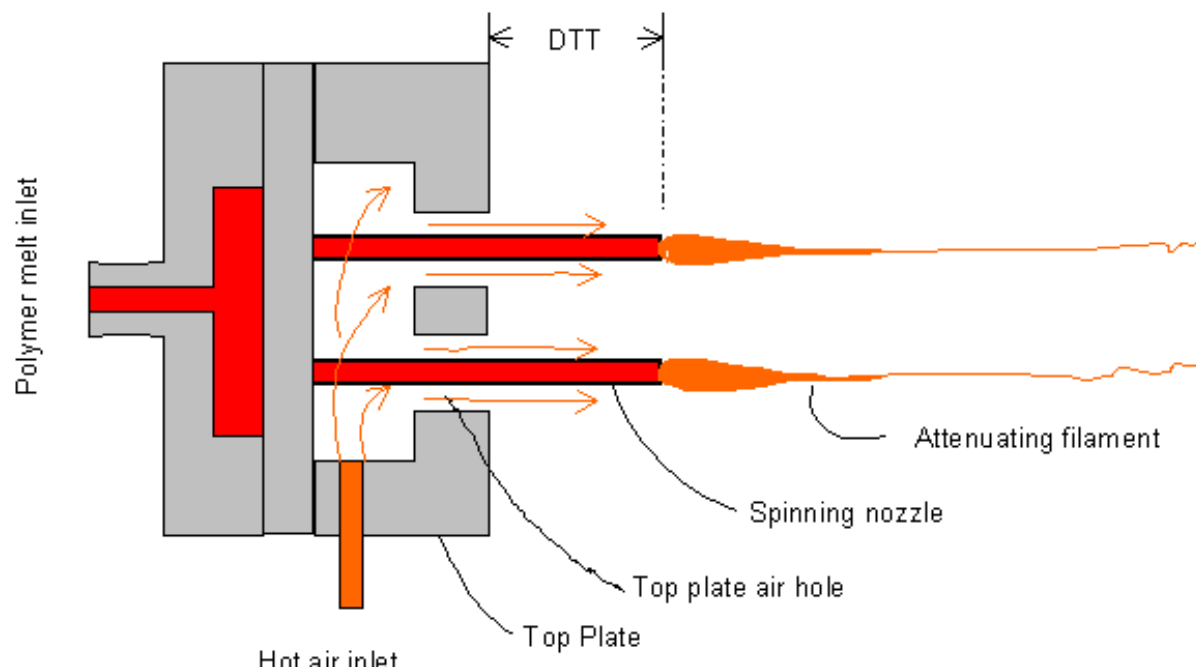


Meltblowing Dies

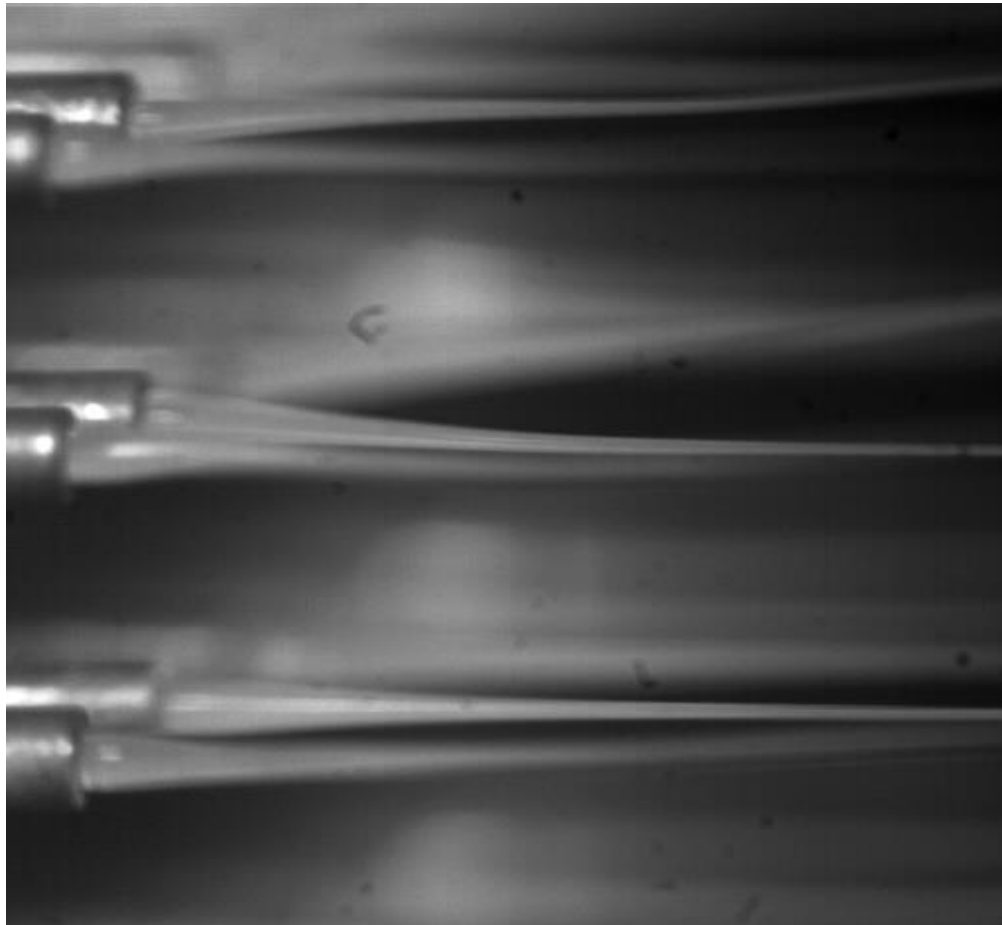




Biax Spinnerette原理



Biax Spinnerette原理



Biax 商業生產用

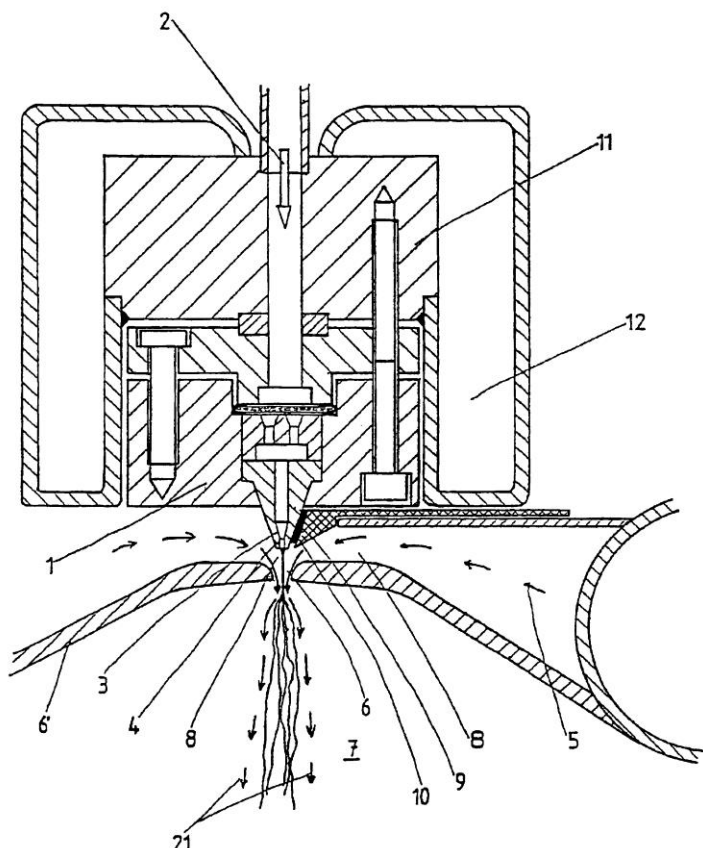


**100cm single drum collector with Biax
die/spinnerette system**

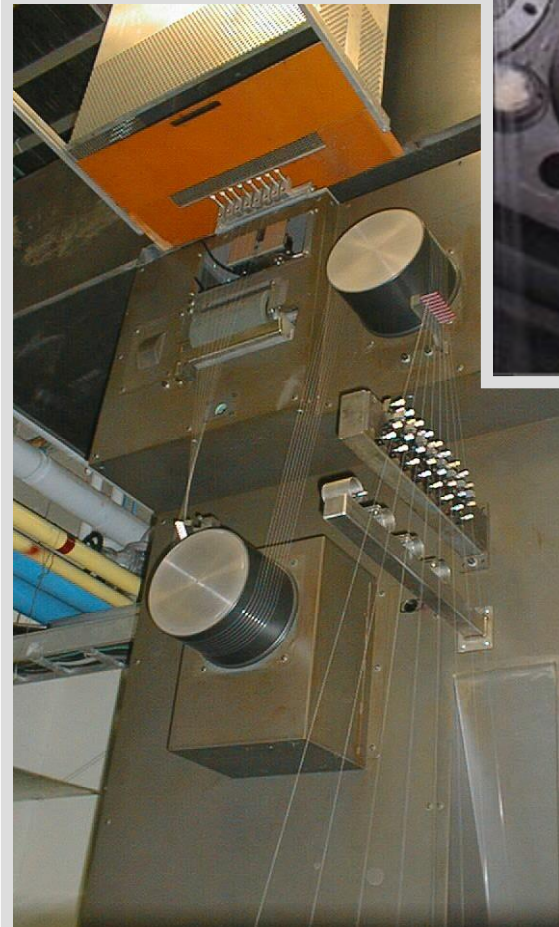
Spunbonding/Meltblowing (Nanoval)



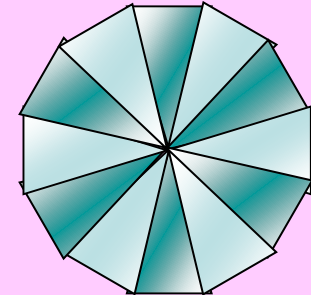
Method and device for the production of an essentially continuous fine thread
United States Patent 6800226



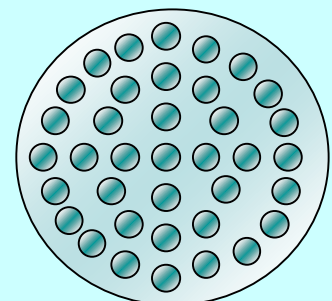
◎超細纖維（製作超細纖維之複合紡絲法）



分割型
Segment-Pie



海島型
Sea-Island



以此兩種為主要之紡口設計

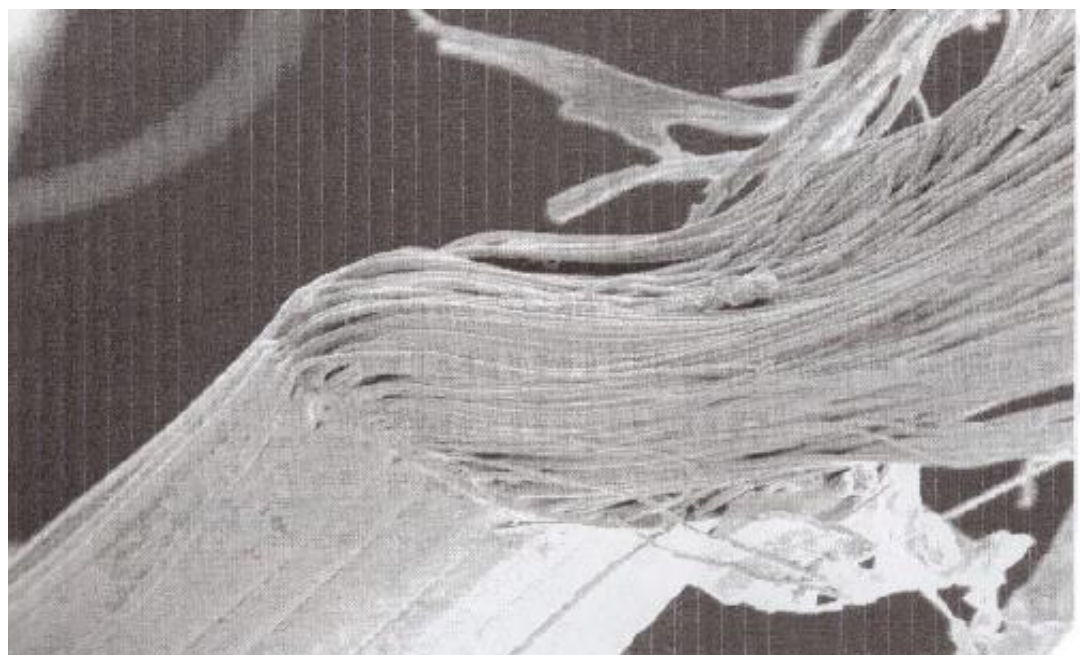
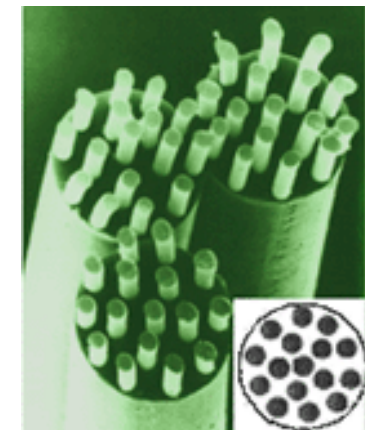
◎超細纖維（複合型纖維超細化製程）

- 纖維直紡製程：0.3 de
- 透過複合紡絲：0.1 de 以下
- 利用不同材質特性，

設計加工方法使之分裂成更細微的纖維

→ 機械法

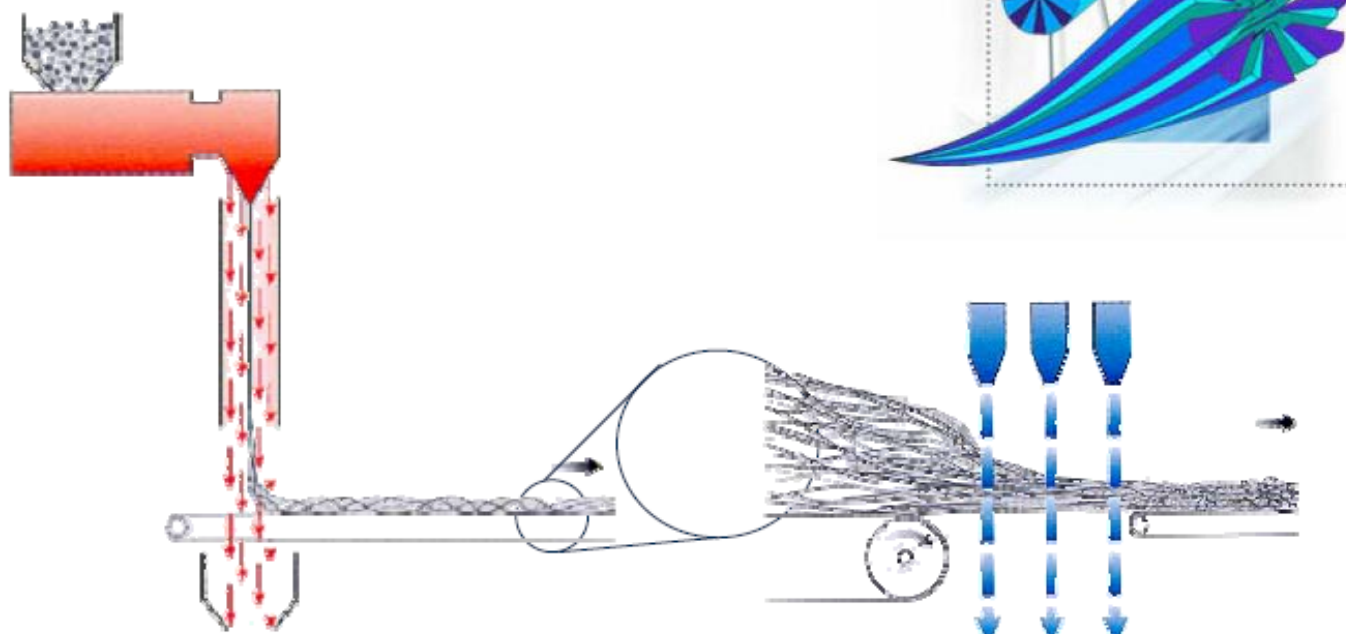
→ 化學法





◎雙組份紡黏纖維不織布

Evolon-a New Generation of Fabrics

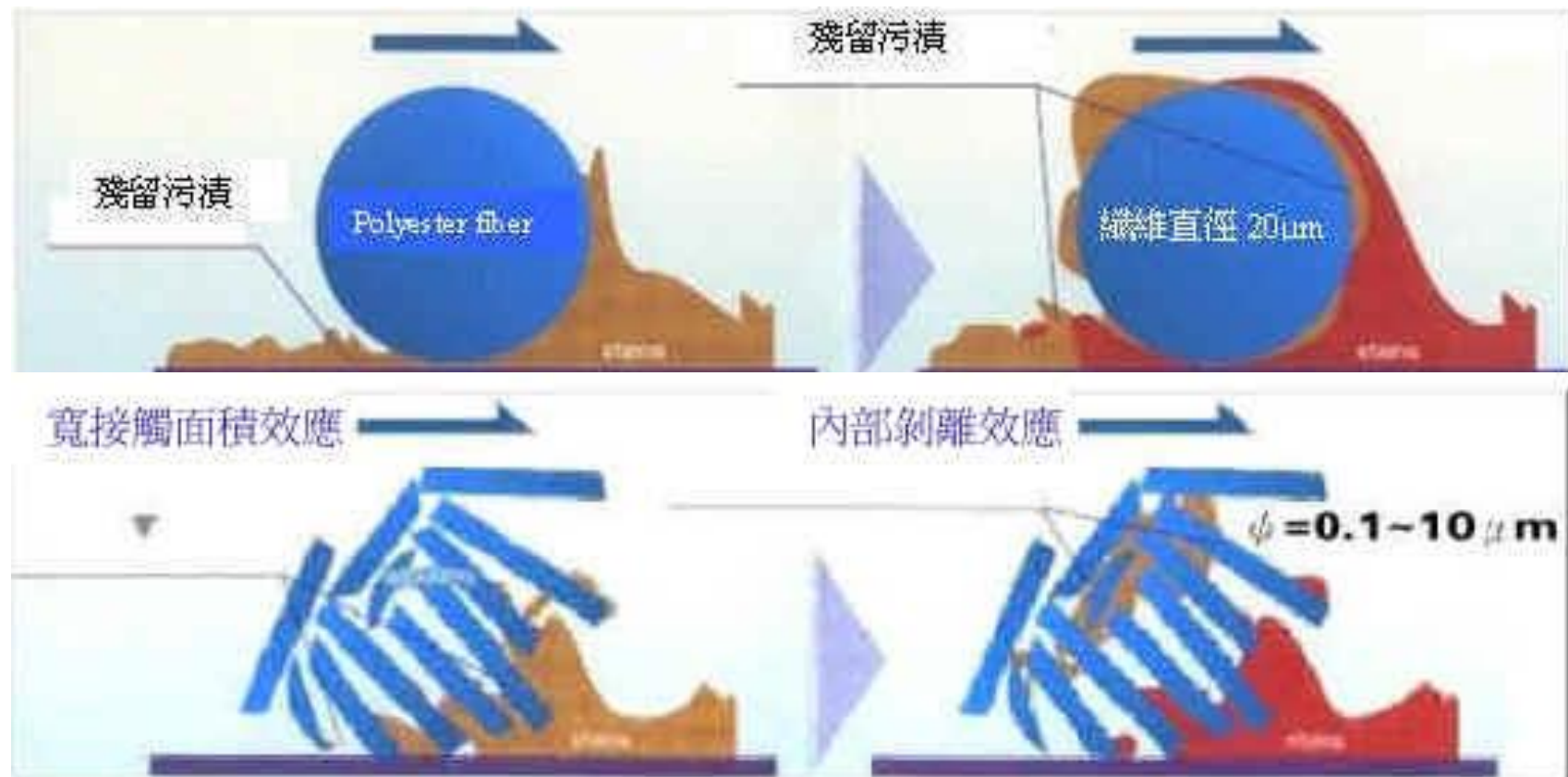


microfilament fabrics



◎超細纖維特性與應用

無塵擦拭布



圖片來源：
Thompson網站

什麼應用非超細纖維膜不可？



取代現有產品

- Ø 染料敏化太陽能電池
- Ø 電池/電容/導電
- Ø 超濾膜及奈米過濾膜

增加附加價值

- Ø 空氣濾材
- Ø 醫療敷料

次微米
纖維膜

新產品

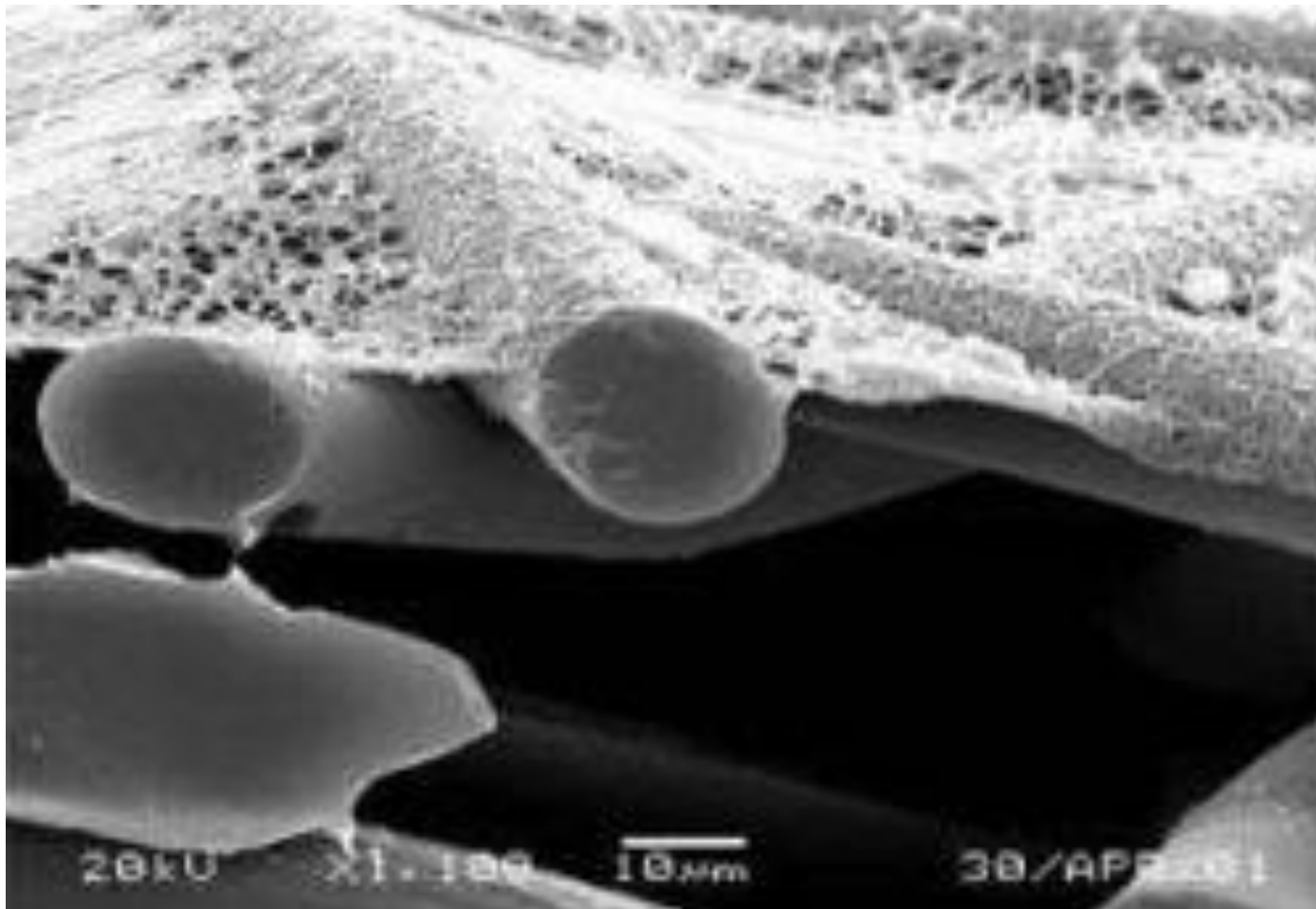
- Ø 藥物釋放系統
- Ø 組織工程
- Ø 癱水生物處理薄膜
- Ø 飲用水過濾

新解決方案

- Ø 儲能
- Ø 热隔離
- Ø 吸音



◎電紡不織布（HEPA 空氣過濾材）

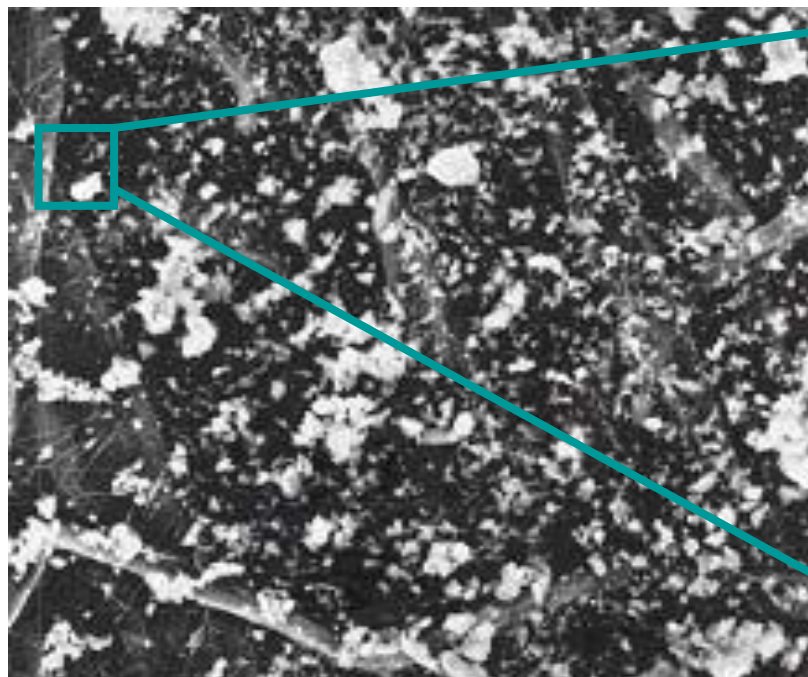


<http://www.donaldson.com/en/index.html>

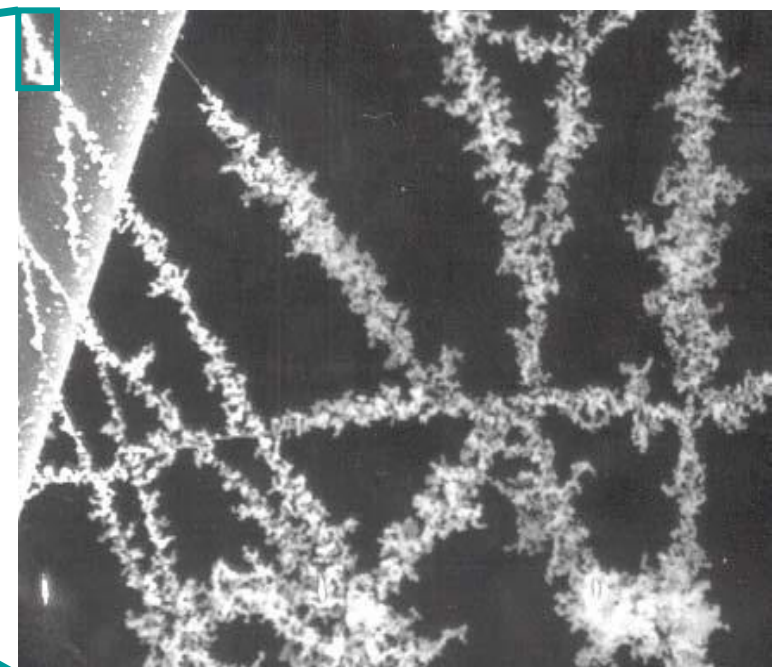


◎電紡不織布 (HEPA 空氣過濾材)

細微粉塵大部分受到奈米纖維過濾材的攔阻



奈米纖維複合過濾材粉塵過濾效果呈現



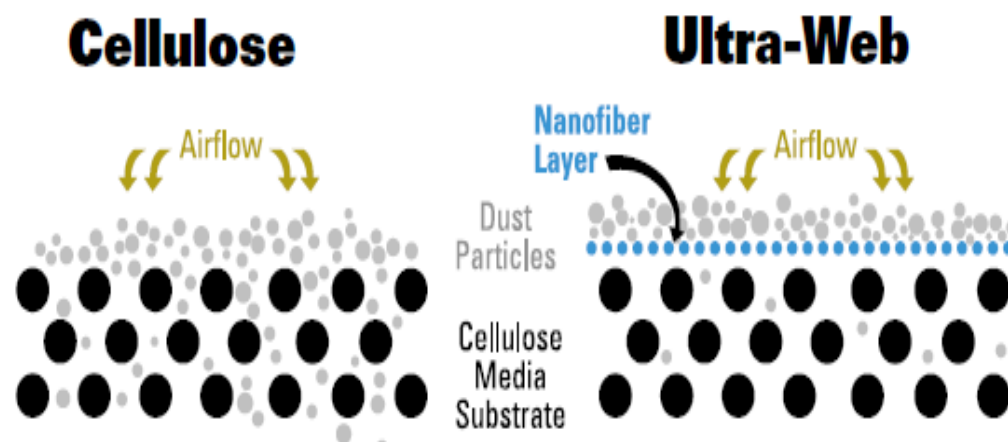
局部放大奈米纖維複合過濾材粉塵過濾效果

資料來源：Nonwovens in Filtration - Fifth International Conference, March 2003

超細纖維膜的應用

◎電紡不織布（HEPA 空氣過濾材）

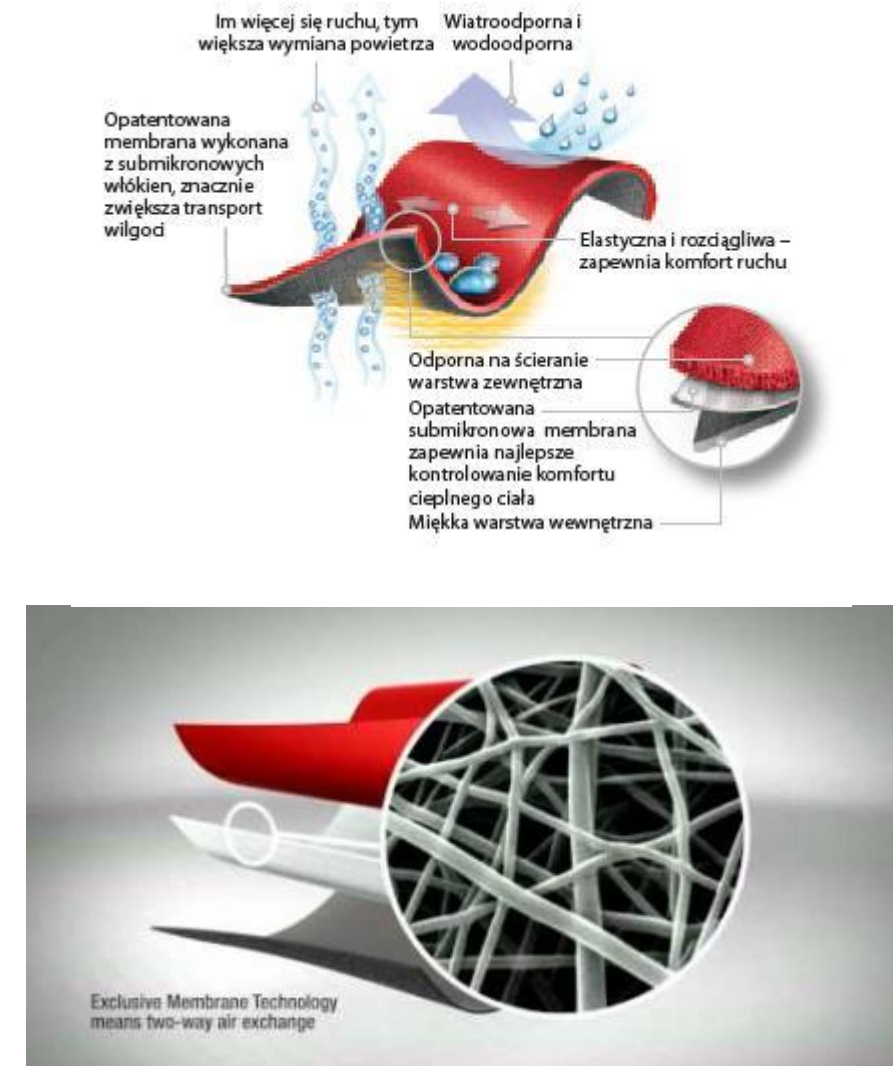
Media Comparative Cross Section



<http://www.donaldson.com/en/index.html>

超細纖維膜的應用

◎電紡不織布（透濕防水膜）

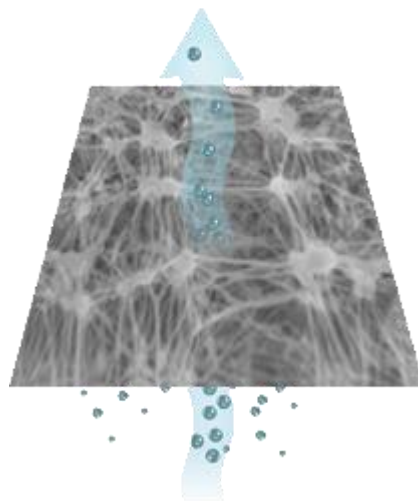


<http://www.polartec.com/shelter/polartec-neoshell/>

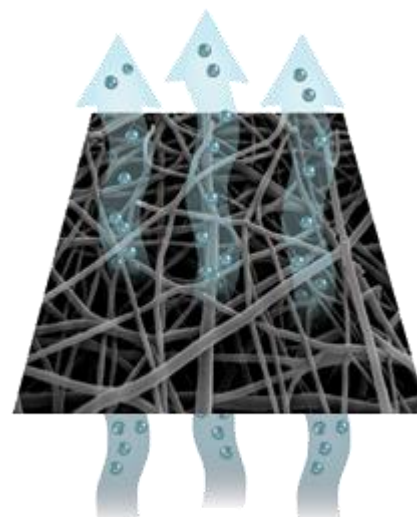
超細纖維膜的應用

◎電紡不織布（透濕防水膜）

Conventional Waterproof/Breathable



Polartec® NeoShell®



<http://www.polartec.com/shelter/polartec-neoshell/>



超細纖維膜的應用

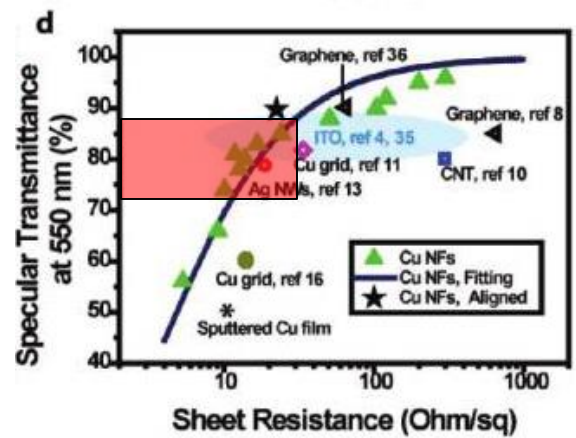
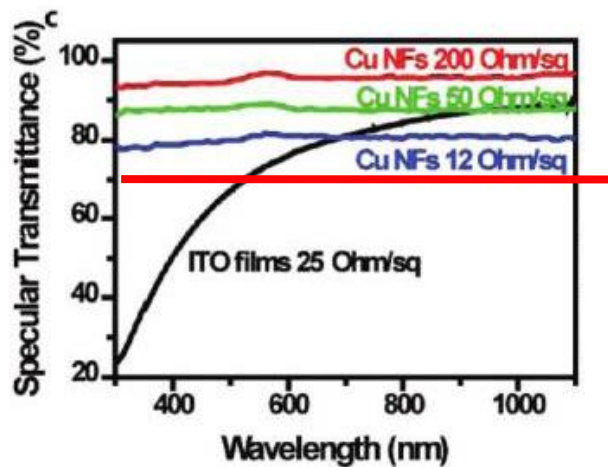
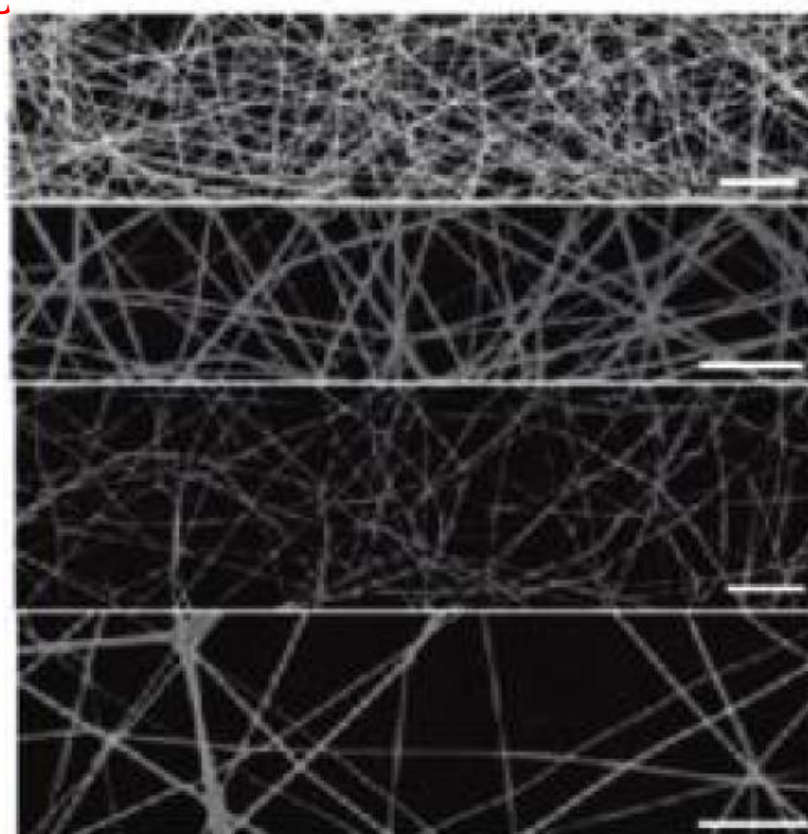
◎電紡不織布（奈米金屬導電纖維膜）

製程面：

- 無機奈米連續長纖維
- 網絡結構 (networks)
- 容易製造大面積
- 低成本，易放大量化

產品面：

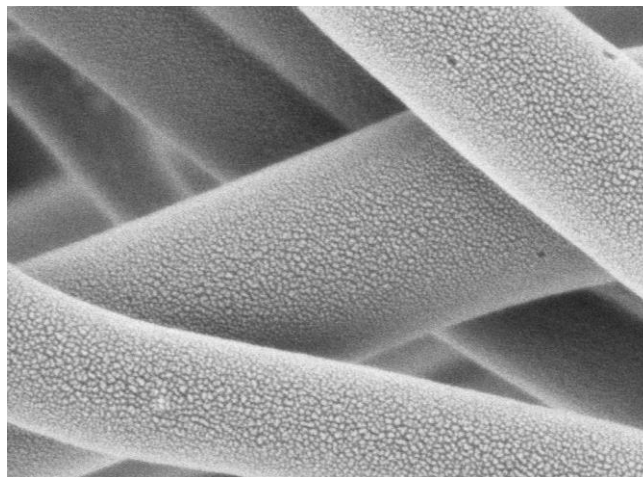
- 可撓曲
- 電阻 $\leq 30\ \Omega/\text{sq}$
- 大面積



超細纖維膜的應用

◎ 超級電容電極

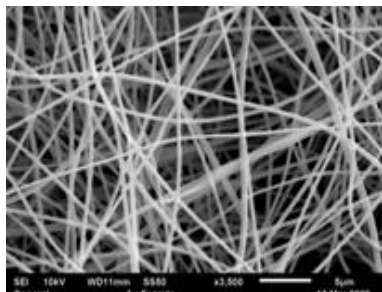
測試設備	ASAP 2020	
測試樣品	次微米活性纖維 (平均纖維細度0.5μm)	
測試結果	Langmuir Surface Area	>1000 g/m ²
	大孔比表面積	110.092 g/m ²
	微孔佔比表面積比例	100.6054 g/m ² (孔隙範圍：17~3000Å)
	微孔比例 (%)	91.326 %



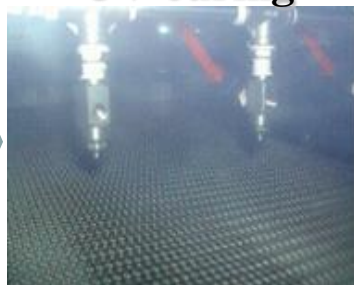
	Electrode Mass (mg)	Charge Specific Capacity (F/g)	Discharge Specific Capacity (F/g)
E1-1	9.7	161	168
E1-2	9.7	174	183
E1-3	13.1	188	209
E1 (mean)		174	187
E2-1	12.1	222	242
E2-2	5.5	256	296
E2-3	7.5	266	291
E2 (mean)		248	276
E3-1	7.5	267	288
E3-2	6.8	292	314
E3-3	5.9	264	292
E3 (mean)		274	298
Commercial active carbon fiber 1*		---	110
Commercial active carbon fiber 2*		---	130

◎電紗不織布（水過濾材/纖維膜）

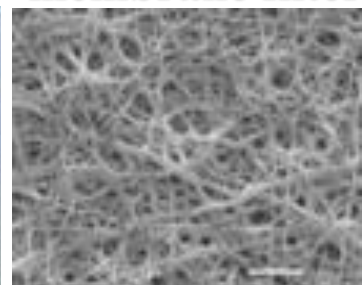
ES nanofibrous membrane



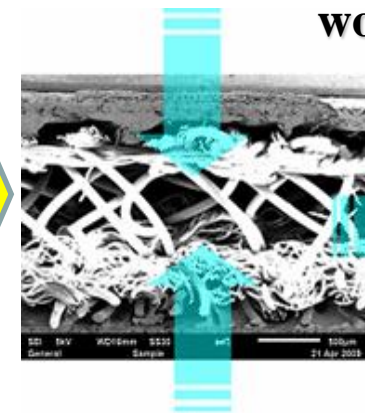
Spray coating & UV curing



Nanofibrous membrane filter



Waste water



Sandwich non-woven filter

Pure water

Specification

- Average nanofiber diameter $\leq 200\text{nm}$
- Average pore size $\leq 0.08\mu\text{m}$
- Filtration efficiency (MWCO=300K) $>90\%$

Applications

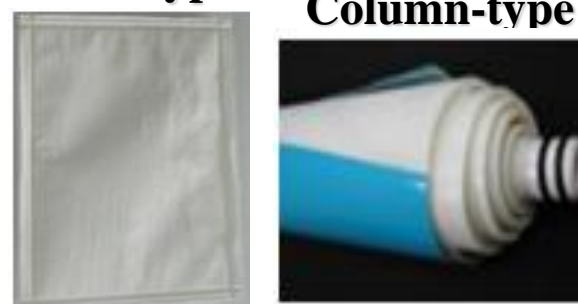
- Filter for water purification
- Industrial wastewater treatment
- Bioseparation/Hemodialysis

Ultrafiltration module



ES membrane

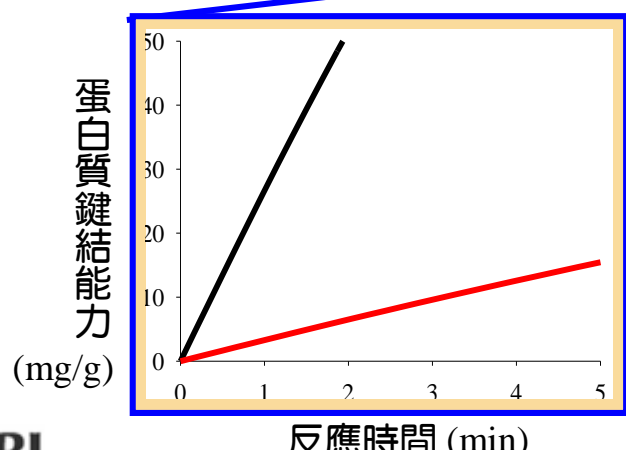
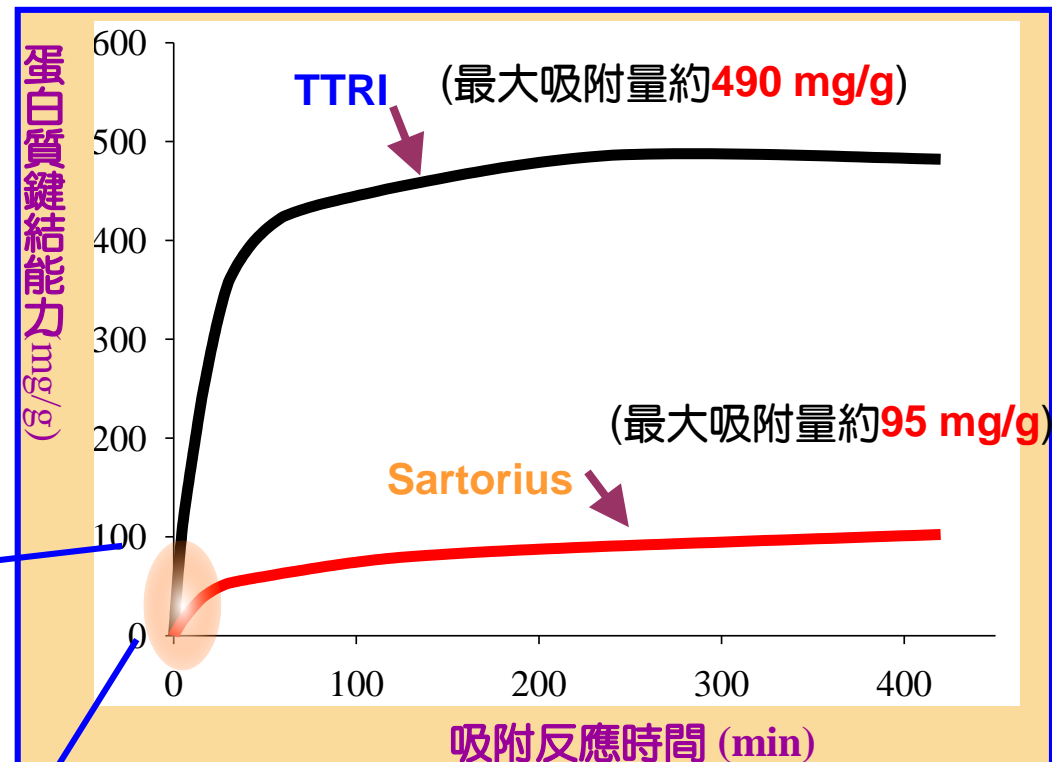
Plate-type



Column-type

◎電紡不織布（蛋白質分離純化）

項目	產品	TTRI	SARTORIUS
基材	PAN 奈米電紡纖維膜材	一般纖維素膜材	
纖維直徑	直徑<350nm	-	
孔洞大小	< 0.8 μm	> 3 μm	
官能基	-COOH	-COOH	
離子交換量	722.09 μeq/g	135.16 μeq/g	
蛋白質吸附量	490 mg/g	95 mg/g	



與Sartorius市售品比較

- 蛋白質最大吸附量提昇500%
- 吸附反應更迅速
- 節省約7倍的純化時間

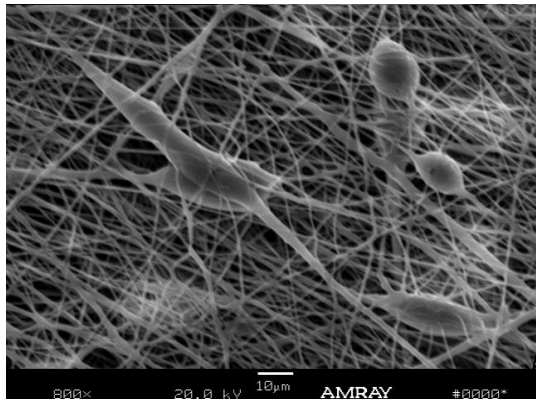


◎電紡不織布（組織工程）





◎電紡不織布（組織工程-細胞培養）

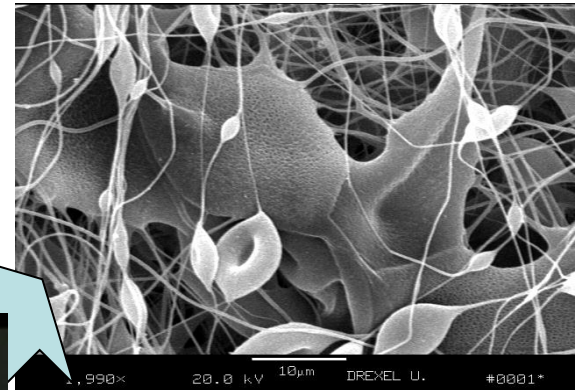
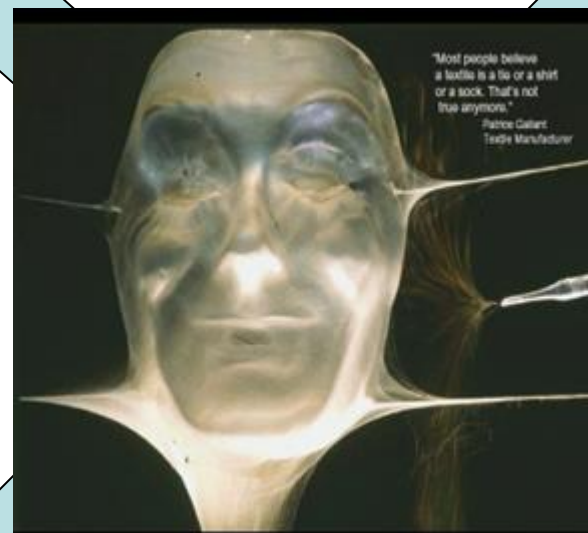


膠原蛋白電紗奈米纖維

應用於

1. 細胞生長培養基材
2. 組織修復材
3. 膠原蛋白面膜

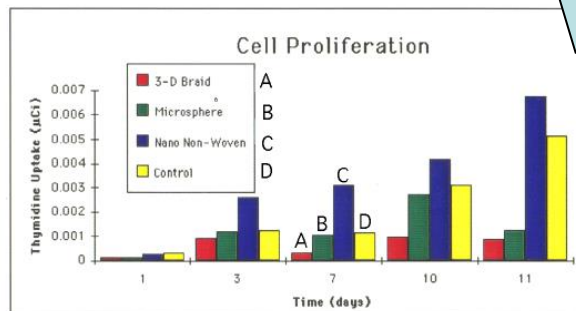
優點：細胞生長效果佳、細胞生長較佳細度為60~300 nm



蠶絲蛋白電紗奈米纖維

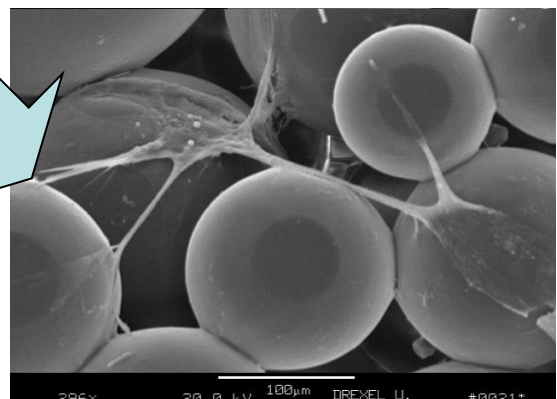
應用於

1. 細胞生長培養基材
2. 蠶絲蛋白面膜



本文使用本資料，亦不准複印、複製或轉變成任何其他形式使用

TTRI and shall not be distributed, reproduced, or disclosed in whole or in part without prior written permission

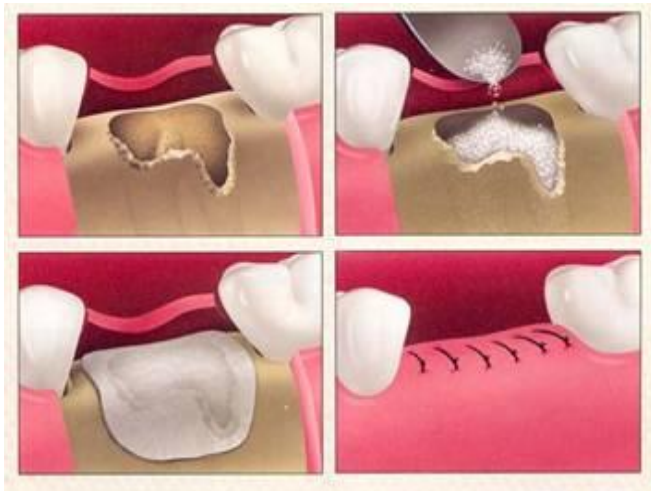
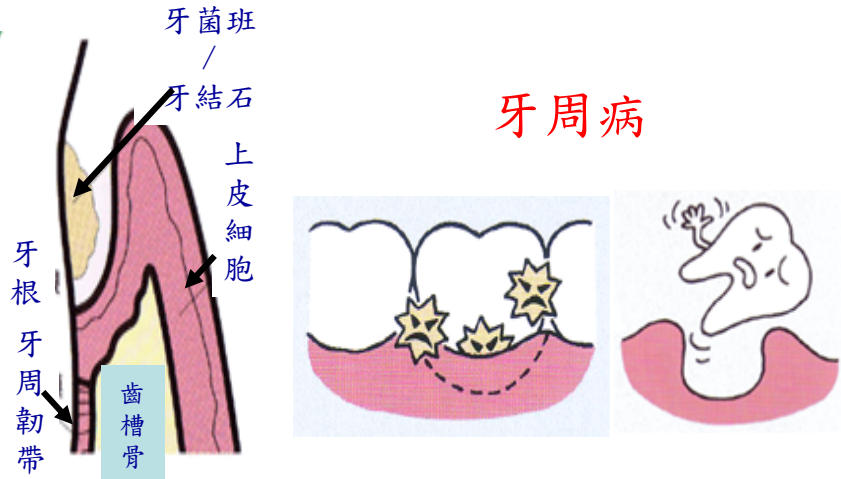


超細纖維膜的應用

紡織產業綜合研究所
Taiwan Textile Research Institute

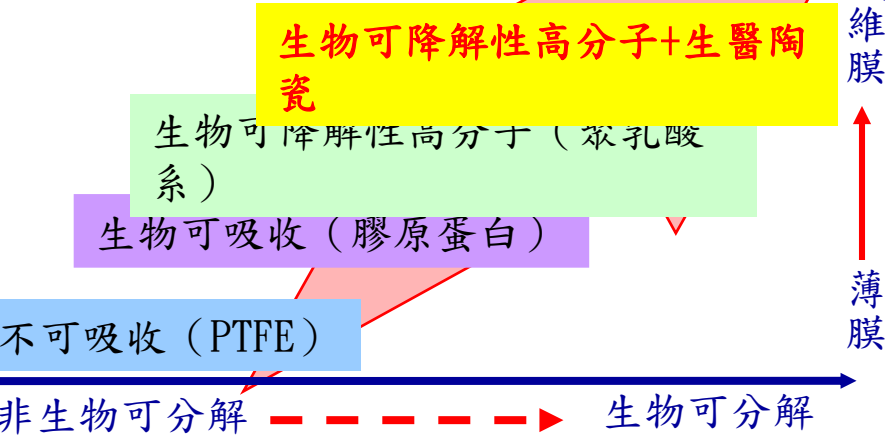


◎生醫敷材



技術水準

GTR/GBR 膜片發展趨勢



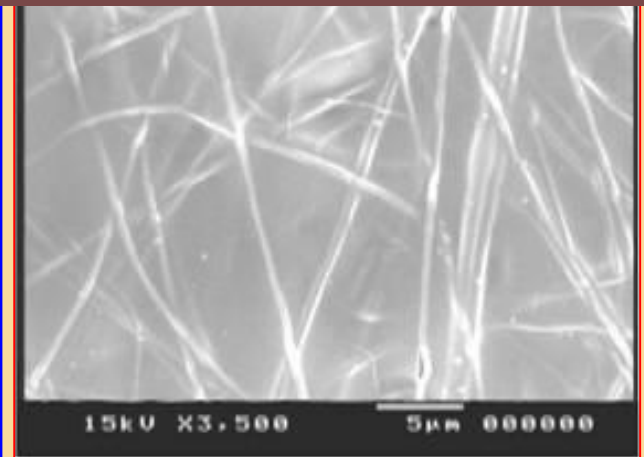
◎產品特性

產品/製程設計	產品功能性
醫療級聚乳酸 (PLA)	具生物可吸收性，不需二次手術移除。
生醫陶瓷—磷酸三鈣與硫酸鈣 (TCP & CaSO ₄)	具骨整合性，加速骨整合效果，縮短治療時間
靜電紡絲量化製程 (Electrospinning)	單一加工方式、可快速製備、可控制孔洞大小與厚度，材料具有高強力表現。



◎電紡不織布（直接甲醇燃料電池）

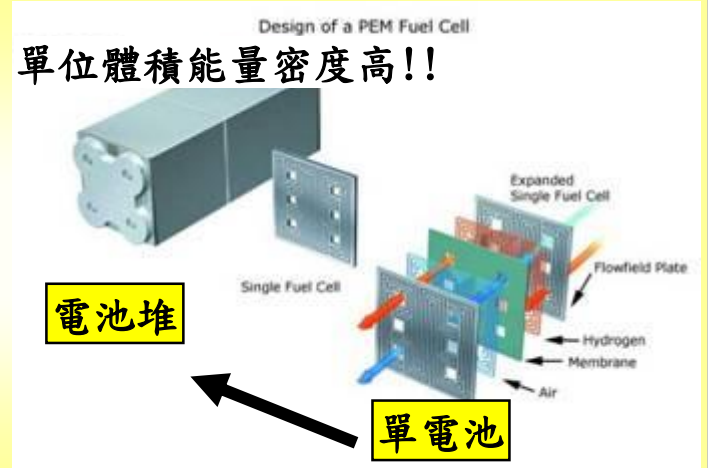
TTRI奈米纖維質子交換膜



質子交換膜	Nafion-117	TTRI
膜厚 (mm)	175	<51
氣體滲透(25°C, 1 atm)	> 60 hr	> 60 hr
抗拉強度 (MPa) @23°C with water soaked	34	40
延伸率 %	200	180
導電度(S/cm) @ 70°C/ 95% RH	4. 38 x10 ⁻²	1. 21x10 ⁻²
單位面積阻抗(Ω) @ 70°C/95% RH	0. 128	0. 134
3. 0 M甲醇穿透率@70°C (cm ² /s)	5. 17x10 ⁻⁶	8. 03 x10 ⁻⁷
DMFC單電池電位 @ 70°C, i = 200 mA/cm ² , 2 M methanol aqueous solution	0. 643 V	0. 598 V

與Nafion117市售品比較TTRI奈米纖維質子交換膜之優勢

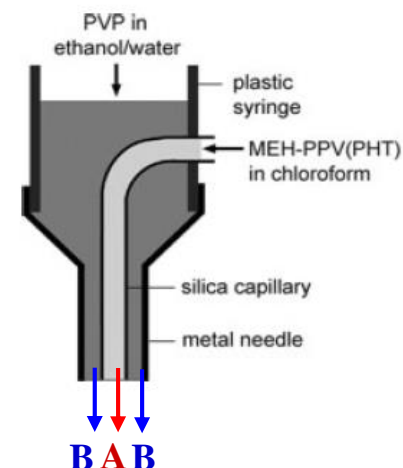
- ① 甲醇滲透率減少 84. 47%
(有效降低燃料的滲透)
- ② 單電池電位僅僅減少 7%
(突顯出甲醇滲透降低之特點)
- ③ 膜材厚度減少 70. 86%
(成本降低)
- ④ 高能量密度 (組裝燃料電池堆,
TTRI膜厚度薄，單位空間中能放置質子交換膜數量多!!)



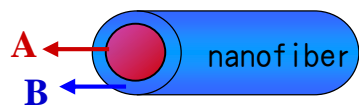


◎電紡不織布（螢光放射纖維膜）

Sheath-core spinneret



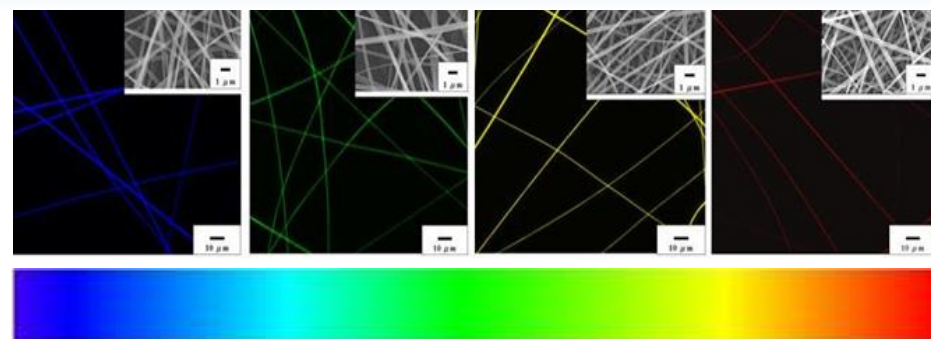
Bicomponent ES fiber



A: fluorescent material

B: polymer (helping to form fibers)

Fluorescent nanofibrous mat with different colors



[TTRI's sample]





超細纖維膜的進展

以往的狀況：

- 成本及強力造成發展限制

最近的進展：

- 應用熔紡製程
- 改裝熔紡製程
- 纖維細度及分佈
- 生產效率



- 北卡大學不織布教材
- 田納西大學不織布教材
- INDA